



رسوب زدایی بالاتر و تأمین بهتر نیازهای پایین دست، ارائه شده است.

واژه‌های کلیدی: رسوب زدایی از مخازن سدها، بهینه‌سازی بهره‌برداری، الگوریتم ژنتیک با طول کروموزوم متغیر، فلاشینگ و سد سفیدرود.

#### مقدمه

ورود رسوبات به دریاچه سدها در طول سال‌های متمادی و رسوب گذاری در داخل مخازن آنها پدیده‌ای اجتناب ناپذیر است. با کاهش حجم ذخیره‌ی مخزن سدها، برنامه‌ریزی بهره‌برداری از سد و تخصیص آب برای موارد گوناگون نظیر کشاورزی، صنعت و شرب دچار مشکل می‌شود. یکی از راه حل‌های افزایش عمر مفید سدها به خصوص در زمان بهره‌برداری، انجام عملیات فلاشینگ است. در استفاده از این روش، محدودیت‌های محیط‌زیستی، ملاحظات ایمنی سد، ایجاد تغییر در بستر رودخانه، کاهش تولید انرژی و تأثیر منفی بر تأسیسات جانبی و انتقال آب باید مورد توجه قرار گیرد.

تخليه ناقص<sup>۱</sup> و یا تخليه کامل<sup>۲</sup> مخزن در زمان‌های مناسب از نظر جريان‌های ورودی و نیازهای پایین دست، به منظور تخليه‌ی رسوبات ته نشین شده در مخزن سد به عملیات فلاشینگ معروف است. راندمان عملیات فلاشینگ در رسوب زدایی مخزن به عامل‌های گوناگونی از جمله شب مخزن، ظرفیت و موقعیت تخليه کننده‌ها، ویژگی‌های رسوبات ورودی، دامنه‌ی تغییرات تراز آب مخزن و روند این تغییرات در طول عملیات، درجه‌ی تحکیم رسوبات نهشته شده در مخزن، میزان جريان‌های ورودی و خروجی و طول زمان عملیات وابسته است.

معیارهای پیشنهاد شده برای فلاشینگ موفق سدها تا پیش از سال ۱۹۹۶ اکثرًا کیفی بودند و یا این که برای برخی از سدها که عملیات فلاشینگ در آنها موفقیت آمیز بوده است نتایج قابل قبولی نمی‌دادند (پیت و تامسون [۱۸]، آناندال [۷]، محمود [۱۶] و اسلاف [۲۰]). در سال ۱۹۹۶، موسسه‌ی پژوهشی والینگفورد [۸] در یک گزارش جامع به ارائه‌ی معیارهایی برای ارزیابی موفقیت عملیات فلاشینگ اشاره نمود. در این گزارش، شش معیار نسبت تعادل رسوب (SBR<sup>۴</sup>)، نسبت ظرفیت دراز مدت مخزن

6- Partial Drawdown

7- Complete Drawdown

9- Sediment Balance Ratio

بهینه‌سازی خروج رسوبات سدها در عملیات فلاشینگ با استفاده از مدل بهره‌برداری از مخزن  
(مطالعه‌ی موردي سد سفیدرود)

سیدسعید اشرف واقفی<sup>۱</sup>، بنفشة زهرای<sup>۲</sup>، بهرام ملک محمدی<sup>۳</sup>  
محمدعلی بنی‌هاشمی<sup>۴</sup>

تاریخ دریافت: ۸۷/۱۱/۳۰ تاریخ پذیرش: ۸۸/۲/۱۰

#### چکیده

بهینه‌سازی بهره‌برداری از سدهای مخزنی تاکنون بیشتر با تأکید بر اهداف تامین نیازهای آبی و انرژی، مهار سیلاب و بهبود شرایط زیست محیطی صورت گرفته و در این توابع هدف به مسئله‌ی خروج رسوبات ورودی توجّه نشده است. بیشتر مطالعاتی که برای رسوب زدایی از مخازن سدها انجام می‌شود، فاقد ارتباط مناسب با مدل‌های بهره‌برداری از مخزن سد هستند که این امر منجر به ناهماهنگی بین تصمیم‌های مرتبط با رسوب زدایی و سایر اهداف بهره‌برداری می‌شود. در این مقاله با دیدگاه نوین، یک مدل بهینه‌سازی بهره‌برداری از مخزن سد ارائه شده که در آن دو تابع هدف تأمین نیاز پایین دست و خروج رسوبات از مخزن سد، استفاده شده است. به منظور تدوین تابع هدف خروج رسوبات از مخزن، از روش برنامه‌ریزی عملیات فلاشینگ استفاده شده است. با وزن دادن به دو تابع هدف تأمین نیاز و خروج رسوبات، عملکرد مدل بهینه‌سازی در سناریوهای گوناگون بررسی شده است. برای حل مدل بهینه‌سازی از الگوریتم ژنتیک با طول کروموزوم متغیر (VLGA<sup>۵</sup>) استفاده شده است. در مطالعه‌ی موردي سد سفیدرود، عملکرد مدل بهینه‌سازی با نتایج واقعی بهره‌برداری از این مخزن در یک دوره‌ی پنج ساله مقایسه و راهکارهای اجرایی مناسب برای دست‌یابی به راندمان

۱- نویسنده مسئول و دانشجوی دکترای مهندسی آب دانشگاه صنعتی امیرکبیر svaghefi@aut.ac.ir

۲- دانشیار دانشکده مهندسی عمران دانشگاه تهران

۳- دانش آموخته دکترای دانشکده مهندسی عمران دانشگاه تهران

۴- استادیار دانشکده مهندسی عمران دانشگاه تهران

5- Variable chromosome Length Genetic Algorithm (VLGA)

الگوریتم های فرآکاوشی با پیشرفتی سریع در مسایل پیچیده و مشکل بهینه سازی مورد استفاده قرار گرفته اند. از آن جمله می توان به، الگوریتم نورد شبیه سازی شده<sup>۶</sup> (SA)، الگوریتم ژنتیک<sup>۷</sup> (GA)، جستجوی منوعه<sup>۸</sup> (TS) و بهینه سازی جامعه مورچه ها<sup>۹</sup> (ACO) اشاره نمود. الگوریتم ژنتیک که بر پایه ای تئوری تکامل داروین استوار است نخستین بار توسط هلند<sup>۱۰</sup> [۱۲] مطرح شد. پژوهشگران زیادی با توسعه ای این روش به نتایج قابل قبولی برای مدیریت و بهره برداری مؤثر از مخازن سدها رسیده اند (برای مثال واردلو و شریف [۲۲] و چانگ و همکاران [۱۰]).

مدل الگوریتم ژنتیک با طول کروموزم متغیر (VLGA) به عنوان ویرایشی نوین از الگوریتم ژنتیک کلاسیک توسط کراچیان و کارآموز [۱۵] پیشنهاد و برای سامانه ای تک مخزنی مورد استفاده قرار گرفته است. در مدل VLGA، بهینه سازی برای دوره ای برنامه ریزی به تعداد سال های مورد نظر، به مسئله ای بهینه سازی کوچک تر تبدیل شده و از پاسخ های بهینه ای محاسبه شده در هر مرحله به عنوان پاسخ اولیه برای دوره ای برنامه ریزی طولانی تر استفاده می شود. نتایج بهینه سازی نشان داد که روش الگوریتم ژنتیک با طول کروموزم متغیر روشنی قدرتمند و دارای سرعت هم گرایی بیشتر نسبت به روش الگوریتم ژنتیک کلاسیک می باشد. زهرابی و همکاران [۲۳] با بسط مدل VLGA برای مخازن سری، با دیدگاه سازگار شونده، دو مدل جدید-I و VLGA-II ارائه نمودند که در این مدل ها با انتخاب پاسخ اولیه بر اساس نتایج بهینه سازی سال های قبل، سرعت هم گرایی مدل در رسیدن به پاسخ بهینه افزایش یافته است. در مدل VLGA، مسئله ای بهینه سازی بهره برداری مخزن از یک مسئله ای یک ساله آغاز و پس از محاسبه ای پاسخ های بهینه برای سال نخست، با فرض این که نتایج در سال دوم نیز باید تقریباً مشابه نتایج بهینه ای سال نخست باشد، پاسخ های اولیه مسئله ای بهینه سازی دو ساله با تکرار نتایج به دست آمده برای سال نخست در نظر گرفته می شود. مدل الگوریتم ژنتیک در این مرحله، یک مسئله ای دو ساله را با یک پاسخ اولیه ای مناسب بهینه سازی می کند. از سال سوم بهینه سازی تا آخر دوره ای بهینه سازی میانگین مقدار نتایج بهینه ای دو سال پیش به عنوان مقدار اولیه ای مدل بهینه سازی در آن سال در نظر گرفته می شود. در این مدل، طول کروموزم به تدریج افزایش می یابد تا سرانجام مسئله ای اصلی با پاسخ های اولیه مناسب حل شود.

متغیرهای تصمیم که در مدل الگوریتم ژنتیک در غالب ژن ها نمایش داده می شوند، میزان خروجی ماهانه است. تعداد ژن ها در هر سال بهینه سازی از حاصل ضرب سال های بهینه سازی (y) در عدد ۱۲ (تعداد ماه های سال) به دست می آید. قیود مدل بهینه سازی

6- Simulated Annealing

7- Genetic Algorithm

8- Tabu Search

9- Ants Colony Organization

(LTCR<sup>۱</sup>)، نسبت مقدار کاهش تراز آب حین فلاشینگ (DDR<sup>۲</sup>)، نسبت عرض کanal فلاشینگ (FWR<sup>۳</sup>)، نسبت تعادل رسوب برای افت کامل تراز آب (SBRd) و نسبت عرض بالای (TWR<sup>۴</sup>) توسط اتکینسون [۸] معرفی شدند. کاواشیما و همکاران [۱۴] یک مدل کاربردی به نام RESCON<sup>۵</sup> در رابطه با نگهداری مخازن سدها ارائه دادند. آنها در این مدل از شش معیار مؤسسه ای والینگفورد در قسمت فلاشینگ سد استفاده نمودند. مدل آنها با توجه به مسائل اقتصادی، به ارائه ای راهکاری برای احیای حجم مفید مخازن می پردازد.

در پژوهش های پیشین، ترکیب توابع هدف گوناگون برای بهینه سازی بهره برداری از مخازن مورد توجه قرار گرفته است. پژوهش های انجام شده توسط استدینجر و همکاران [۲۱]، موهن و رایپور [۱۷]، بالتر و فوتانه [۹]، چن و همکاران [۱۱] و شی بوای و همکاران [۱۹] از نمونه مواردی است که در آنها توابع هدف تأمین آب، تولید برق و مهار سیلان در مدل بهینه سازی بهره برداری از مخازن در نظر گرفته شده است.

مرور پژوهش های گذشته در زمینه ای رسوب زدایی مخازن سدها نشان می دهد که در انجام عملیات رسوب زدایی بهینه سازی مقادیر خروجی از مخزن با در نظر گرفتن سایر اهداف بهره برداری از مخزن مورد توجه قرار نگرفته است. همچنین مرور پژوهش های انجام شده در زمینه ای بهینه سازی بهره برداری از مخازن نشان می دهد، ترکیب هدف خروج رسوبات از مخزن سد در کنار سایر اهداف بهره برداری تاکنون در مدل های بهینه سازی مورد توجه قرار نگرفته است. در سدهایی با حجم زیاد رسوبات ورودی، باید افزون پایین دست، مسئله ای تخلیه ای رسوبات و احیاء حجم مفید مخزن نیز به میزان قابل توجهی برآورده شود.

در این پژوهش، در تدوین مدل بهینه سازی بهره برداری از مخزن، تابع هدف خروج رسوبات از مخزن سد در کنار تابع هدف تأمین نیاز پایین دست در نظر گرفته شده است. به منظور تدوین تابع هدف خروج رسوبات از مخزن، از روش برنامه ریزی عملیات فلاشینگ استفاده شده است. برای حل مدل بهینه سازی از مدل الگوریتم ژنتیک با طول کروموزم متغیر (VLGA) استفاده شده است. ساختار مدل بهینه سازی و نحوه فرموله نمودن توابع هدف و محدودیت ها در بخش بعدی مقاله مورد بحث قرار گرفته است.

## مواد و روش ها

بهینه سازی در واقع تعیین مقادیر بهینه ای متغیرهای تصمیم برای کمینه یا بیشینه کردن تابع هدف است. در سال های اخیر

1- Long Term Capacity Ratio

2- Draw Down Ratio

3- Flushing Width Ratio

4- Top Width Ratio

5- Reservoir Conservation

نسبت خروجی به نیاز در هر ماه در نظر گرفته می‌شود. ساختار این تابع هدف دارای سه بخش است که در رابطه (۶) آورده شده است.

$$Loss_{m,y}^1 = \begin{cases} 1.58 \times 10^6 \left( e^{(R_{m,y}/0.8D_{m,y})} - e^{-1} \right) & \frac{R_{m,y}}{D_{m,y}} < 0.8 \\ 0 & 0.8 < \frac{R_{m,y}}{D_{m,y}} < 1.2 \\ 3.88 \times 10^5 \left( e^{(R_{m,y}/1.2D_{m,y})} - e^1 \right) & \frac{R_{m,y}}{D_{m,y}} > 1.2 \end{cases} \quad (6)$$

در تابع هدف دوم، فرض می‌شود خسارت ناشی از عدم خروج رسوبات از مخزن ( $Loss_y^2$ ) تابعی از نسبت خروجی سالانه رسوب از مخزن به بیشترین رسوب خروجی سالانه واقعی صورت گرفته در طول دوره‌ی بهینه سازی می‌باشد. این تابع هزینه محاسبه و نمایی است و در رابطه‌ی (۷) تعریف شده است.

$$Loss_y^2 = \begin{cases} 1580000 \times e^{\left( \frac{V_y}{V_{max}} - \frac{1}{e} \right)} & \frac{V_y}{V_{max}} \leq 1 \\ 0 & \frac{V_y}{V_{max}} > 1 \end{cases} \quad (7)$$

که در این رابطه، بیشترین بار رسوب خروجی سالانه از مخزن طی عملیات فلاشینگ می‌باشد. این مقدار براساس آمار تاریخی رسوب خروجی طی این عملیات و یا قضاوت کارشناسی در مورد بیشترین مقدار محتمل رسوب خروجی از شرایط ایده‌آل انجام عملیات فلاشینگ قابل محاسبه است. برای محاسبه‌ی از رابطه‌ی پیشنهادی به وسیله‌ی موسسه‌ی والینگفورد به صورت زیر استفاده شده است:

$$V = \psi \frac{Q_f S^{1.2}}{W^{0.6}} \quad (8)$$

در رابطه‌ی بالا،  $Q_f$  دبی فلاشینگ می‌باشد که با توجه به زمان مناسب برای عملیات فلاشینگ برای هر سد، قابل محاسبه است.  $S$  شبی طولی مخزن در طول دوره‌ی فلاشینگ می‌باشد و از رابطه‌ی زیر بدست می‌آید:

$$S = \frac{EL_{max} - EL_{min}}{L} \quad (9)$$

در این رابطه:  $EL_{min}$ : کمترین ارتفاع بستر،  $EL_{max}$ : بیشترین رقوم جریان و  $L$ : طول مخزن می‌باشد. برای تعیین پارامتر  $\psi$ ، از جدول (۱) استفاده می‌شود [۸]. در رابطه‌ی (۸)،  $W$  عرض جریان در عملیات فلاشینگ می‌باشد که از رابطه‌ی زیر محاسبه می‌شود:

$$W = \min\{W_{res}, W_f\} \quad (10)$$

$$W_{res} = W_{bot} + 2 \times SS_{res} (El_f - El_{min}) \quad (11)$$

$$W_f = 12.8 * Q_f^{0.5} \quad (12)$$

شامل معادله‌های پیوستگی مخزن، بیشینه و کمینه حجم مخزن و مقادیر مجاز خروجی از مخزن می‌باشد. در تمام مراحل بهینه‌سازی بهره‌برداری از مخزن، باید موازنی جرمی بین مقادیر ورودی و خروجی و حجم ذخیره‌ی مخزن برقرار باشد و حجم ذخیره باید بین مقادیر کمینه و بیشینه‌ی آن باشد:

$$Sm+1,y = Sm,y + Im,y - Rm,y \quad m=1,...,11 \quad y=1,...,Y \quad (1)$$

$$S1,y+1 = S12,y + I12,y - R12,y \quad y=1,...,Y \quad (2)$$

$$S(\min) \leq Sm,y \leq S(\max) \quad m=1,...,12 \quad y=1,...,Y \quad (3)$$

در این روابط  $Rm,y$ : خروجی از مخزن در ماه  $m$  در سال  $y$ ،  $Im,y$ : حجم مخزن در ابتدای ماه  $m$  در سال  $y$ ،  $Rm,y$ : ورودی به مخزن در ماه  $m$  در سال  $y$ ،  $S(\min)$  و  $S(\max)$ : کمینه و بیشینه‌ی حجم ذخیره‌ی مخزن می‌باشند.

میزان خروجی بهینه سازی شده در هر دوره باید بین مقادیر کمینه و بیشینه‌ی آن باشد. شرایط مرزی تعریف شده برای خروجی، با استفاده از منحنی حجم- خروجی مخزن<sup>۱</sup> میان‌یابی می‌شود. بر اساس حجم ذخیره در هر دوره و میان‌یابی خروجی مربوط به حجم موردنظر، مقدار خروجی مجاز مخزن بدست می‌آید.

$$0 \leq Rm,y \leq R(\max) \quad m=1,...,12 \quad y=1,...,Y \quad (4)$$

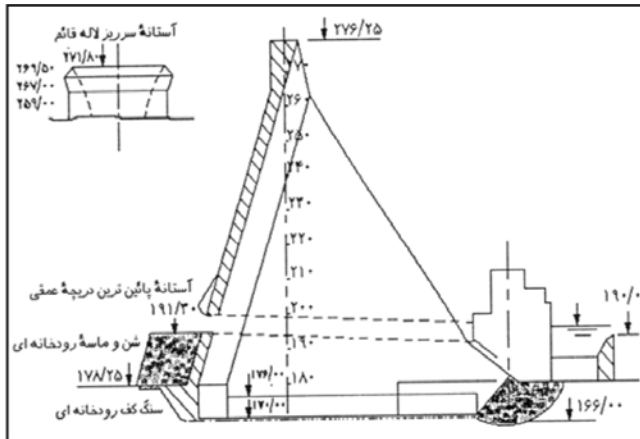
در این روابطه،  $R(\max)$  بیشینه‌ی خروجی مجاز از مخزن که با توجه به ظرفیت دریچه‌ها و سرریزها، از منحنی‌های خروجی بر حسب حجم ذخیره و یا بلندای آب در مخزن به دست می‌آید.

تابع هدف مدل بهینه سازی در این پژوهش مشکل از دو بخش یکی مربوط به تأمین نیاز پایین دست و دیگری برای خروج رسوبات مخزن، در نظر گرفته شده است. مطابق با رابطه‌ی زیر، هدف هر دو بخش تابع، کمینه سازی خسارت ناشی از خروجی نامناسب از مخزن در طول دوره‌ی بهینه سازی می‌باشد.

$$\text{Minimize } Z = W_d \times \left( \sum_{y=1}^Y \sum_{m=1}^{12} Loss_{m,y}^1 (R_{m,y}, D_{m,y}) \right) + W_s \times \left( \sum_{y=1}^Y Loss_y^2 (V_y) \right) \quad (5)$$

در این رابطه  $Loss_{m,y}^1$ : خسارت ناشی از عدم تأمین نیاز در ماه  $m$  از سال بهینه سازی  $y$ ،  $Loss_y^2$ : خسارت ناشی از عدم خروج رسوبات در سال بهینه سازی  $y$ ،  $W_d$ : وزن هدف تأمین نیاز،  $W_s$ : وزن هدف خروج رسوبات،  $V_y$ : بار رسوب خروجی در طی عملیات فلاشینگ در سال  $y$ ،  $D_{m,y}$ : مقدار نیاز پایین دست در ماه  $m$  از سال  $y$  می‌باشد.

در محاسبه‌ی خسارت ناشی از عدم تأمین نیاز ( $Loss_{m,y}^1$ )، تابع هدف نسبی ارائه شده به وسیله‌ی کارآموز و واسیلیادیس [۱۳] استفاده شده است. در این تابع، فرض می‌شود که خسارت ناشی از رهاسازی آب از سیستم تنها تابعی از خروجی است که به صورت ۱- Rating-Curve



شکل ۱ - مقطع سد سفیدرود [۱]

این سد یک حلقه‌ی مهم در زنجیره‌ی اقتصادی استان گیلان است که با مسئله‌ی رسوب گذاری بسیار زیاد رو به رو است. میانگین سالیانه‌ی رسوبات ورودی به مخزن سد ۴۶ میلیون تن که حدود ۳۸ میلیون تن از شاخه‌ی قزل اوزن و ۷/۹ میلیون تن از شاخه‌ی شاهروود وارد مخزن می‌شود. توزیع ماهانه‌ی آب و رسوبات وارد به مخزن نشان می‌دهد که بیش از ۵۰ درصد جریان‌های ورودی تنها در ماه‌های فروردین و اردیبهشت وارد مخزن می‌شوند و بیش از ۶۰ درصد رسوبات وارد شده به مخزن در ماه‌های یاد شده بوده است [۳] و [۲].

به منظور بهینه‌سازی بهره‌برداری از سد سفیدرود، بر اساس شکل (۳) از سری زمانی ورودی ماهانه به مخزن و نیازهای آبی پایین دست در یک دوره‌ی ۵ ساله (از سال آبی ۷۹-۸۰ تا ۸۴-۸۵) استفاده شده است. بر اساس شکل (۴) میانگین نیاز پایین دست برای سال‌های آبی (۸۵-۸۶) و (۸۴-۸۵) در مدل بهینه‌سازی مورد استفاده قرار گرفته است. در جدول (۲) داده‌های ورودی برای محاسبه‌ی مقدار رسوب خروجی از مخزن سد ارائه شده است (داده‌ها مربوط به عملیات فلاشینگ در سال ۱۳۶۷ می‌باشد).

### اجرای مدل و تحلیل نتایج

در مدل بهینه‌سازی الگوریتم ژنتیک انتخاب صحیح پارامترها تأثیری به سزا در عملکرد و اجرای بهتر مدل دارد. اندازه‌ی جمعیت اولیه که تأثیر به سزا ای در همگرایی سریع تر به سمت پاسخ بهینه دارد، در این پژوهش برابر ۲۰۰ در نظر گرفته شده است. برای تعیین بهینه‌ی تعداد افراد جامعه، از مقادیر احتمال تزویج برابر ۰/۴ و عملگر تزویج از نوع یکنواخت استفاده شده است. همچنین انتخاب کروموزوم‌های برتر به منظور تولید نسل جدید بر اساس روش تورنمنت<sup>۱</sup> انجام گرفته است. با استفاده از اندازه‌ی جمعیت اولیه ۲۰۰، احتمال تزویج نیز بهینه گردید و مقدار بهینه‌ی احتمال تزویج ۰/۴۵ به دست آمد.

در این روابط:  $W_{bot}$ : عرض کف مخزن سد،  $SS_{res}$ : شب جداری مخزن،  $EL_{f}$ : رقوم جریان در سریز در حین فلاشینگ،  $W_{res}$ : عرض مخزن سد درست در بالادست آن و در تراز آب هنگام عملیات فلاشینگ،  $W_f$ : عرض کanal ایجاد شده در اثر عملیات فلاشینگ،  $Q_f$ : دبی فلاشینگ می‌باشد.

در این پژوهش مکانیزم انتقال رسوب مدنظر نبوده است که البته در پژوهش‌های آتی امکان این که این مورد در تابع هدف لحاظ شود، وجود دارد. برای این منظور مطالعه‌ی مرجع ۶ به خوانندگان توصیه می‌شود [۶].

جدول ۱ - تعیین پارامتر [۸]

مقدار $\Psi$	شرایط موجود
۱۶۰۰	برای رسوبات ریز دانه
۶۵۰	$D_{50} < 0.1\text{ m}$
۳۰۰	$D_{50} < 0.1\text{ mm}$
۱۸۰	اگر دبی شاس کم باشد ( $50\text{ m}^3/\text{s}$ )

### مطالعه‌ی موردي: سد سفیدرود

سد سفیدرود در پایین دست نقطه‌ی تلاقی دو رودخانه قزل اوزن و شاهروود در نزدیکی شهر متجلیل، حدود ۲۵۰ کیلومتری شمال غربی تهران واقع شده است. بهره‌برداری از این سد در اردیبهشت ۱۳۴۱ به منظور آبیاری دشت گیلان و تولید برق آغاز شده است. میانگین درازمدت سالیانه جریان ورودی به مخزن معادل ۴۹۰۰ میلیون مترمکعب می‌باشد. دو سریز تخلیه‌ی نیلوفری به ظرفیت تخلیه‌ی ۳۰۰۰ مترمکعب در ثانیه و دو سریز نیمه عمقی کمکی با ظرفیت کل ۲۰۰۰ مترمکعب در ثانیه و پنج دهنه‌ی آبگیر نیروگاه با ظرفیت تخلیه‌ی ۱۶۰۰ مترمکعب در ثانیه و پنج مجرای خروجی کف (گالری زیرین) با ظرفیت ۹۸۰ مترمکعب در ثانیه در سد وجود دارد. مقطع سد سفیدرود در شکل (۱) ارائه شده است [۱].

در شکل (۲) نمودار تغییرات حجم مخزن در تراز نرمال در طول دوره‌ی بهره‌برداری از آن ارائه شده است. همان‌گونه که در این شکل دیده می‌شود، حجم اولیه‌ی مخزن ۱۷۶۰ میلیون مترمکعب می‌باشد که پس از ۱۸ سال بهره‌برداری از آن این حجم به ۱۰۴۰ میلیون مترمکعب کاهش یافته است. با انجام عملیات رسوب‌زدایی، حجم مخزن افزایش و تا حجم ۱۲۴۴ میلیون مترمکعب رسانده شده است. تغییر حجم مخزن از سال ۶۹ بسیار اندک بوده است. این تغییرات نشان دهنده‌ی این است که در دوره‌های اولیه فلاشینگ، این عملیات تأثیر به سزا ای در احیاء مخزن داشته است، اما در سال‌های بعد تقریباً رسوبات سالیانه ورودی، خارج شده است.

الگوریتم ژنتیک، کروموزم هایی که خروجی های بالاتری را برای عملیات فلاشینگ در سه ماه آذر، دی و فروردین در نظر بگیرند، احتمال بقای بیشتری در نسل های متوالی خواهند داشت. علت آن که ضرایب ماه ها متفاوت در نظر گرفته شده است آنست که به علت ورودی های بیش تر در سه ماه آذر، دی و فروردین استفاده از حجم بالای ورودی در تخلیه ای رسوبات موجب کارآمدی بیش تر عملیات فلاشینگ می شود. به دلیل آن که از ماه اردیبهشت تا انتهای شهریور در پایین دست به آب با کیفیت قابل قبول جهت کشاورزی نیاز است، لذا در مدل بهینه سازی، محدودیت برای انجام عملیات فلاشینگ در این ماهها اختصاص داده شده است.

در تابع هدف مدل بهینه سازی (رابطه ۵) مطابق با جدول (۳)، پنج سناریو متفاوت با تغییر ضرایب توابع هدف نیاز و رسوب ( $W_d$  و  $W_s$ ) تعریف شدن و مدل بهینه سازی برای این پنج سناریو اجرا و نتایج آن در این جدول ارائه شده است. مقدار رسوبات خروجی و درصد موقوعی که ۱۰۰، ۷۰ و ۵۰ درصد نیازها تأمین شده اند به عنوان معیارهای ارزیابی نتایج مورد استفاده قرار

در تابع هدف مدل بهینه سازی برای محاسبه ای بار رسوبات خروجی با استفاده از داده های جدول (۲) محاسبات موردنیاز انجام می شود. به دلیل ریزدانه بودن رسوبات موجود در مخزن سفیدرود مقدار ۱۶۰۰ در نظر گرفته شده است. سایر محاسبات بر اساس روابط ۹ تا ۱۲ انجام شده است.

در خصوص سد سفیدرود برای محاسبه ای دبی فلاشینگ ( $Q_f$ ) در مدل بهینه سازی، با توجه به زمان مناسب برای عملیات فلاشینگ،  $Q_f$  توسط دبی ماه های مهر، آبان، آذر، دی، بهمن، اسفند و فروردین که عملیات فلاشینگ در این ماه ها امکان پذیر است، محاسبه شده است.

با توجه به میزان اثربخشی ماه های گوناگون در موفقیت عملیات فلاشینگ، ضرایبی مطابق راهکار موسسه ای والینگفورد در نظر گرفته شده است. این ضرایب در مورد سد سفیدرود برای ماه های مهر و اسفند برابر یک، برای ماه های آبان و بهمن برابر دو و برای سه ماه آذر، دی و فروردین برابر سه در نظر گرفته شد.

با توجه به ضرایب در نظر گرفته شده، در مدل بهینه سازی

جدول ۲ - داده های ورودی برای محاسبه ای مقدار رسوب خروجی در طول عملیات فلاشینگ در سد سفیدرود [۱]

عنوان پارامتر		علامت اختصاری	مقدار ورودی
ظرفیت ذخیره ای اصلی مخزن (میلیون متر مکعب)		$C_0^1$	۱۷۶۰
طول مخزن (متر)		$L^2$	۲۵۰۰۰
تراز سطح آب (متر)		$C_{\max}^3$	۸۲
کمینه ای ارتفاع بستر (متر)		$C_{\min}^4$	.
شیب جداره ای مخزن		$SS_{\text{res}}^5$	۱:۲/۸۳-۱:۳/۳۷
میانگین جریان ورودی سالیانه (میلیون متر مکعب)		$M_{\text{in}}^6$	۵۰۰۰
میانگین جریان رسوبی ورودی سالیانه (میلیون تن)		$M_{\text{in}}^7$	۵۰
نوع رسوب		Type	ماسه، سیلت و رس
عرض کف مخزن (متر)		$W_{\text{bot}}^8$	۵۰۰
دبی فلاشینگ (متر مکعب بر ثانیه)		$Q_f^9$	۱۰۰
طول دوره ای فلاشینگ (روز)		$T_f^{10}$	۱۲۰
شیب جداره ای کanal فلاشینگ		$SS_s^{11}$	۱:۱
ارتفاع سطح آب سد در طول فلاشینگ (متر)		$EL_f^{12}$	۲۵

7- Sediment Annual Input

1- Original Capacity

8- Bottom Width

2- Length

9- Flushing Discharge

3- Maximum Elevation

10- Time of Flushing

4- Minimum Elevation

11- Flushing Channel Side Slope

5- Reservoir Side Slope

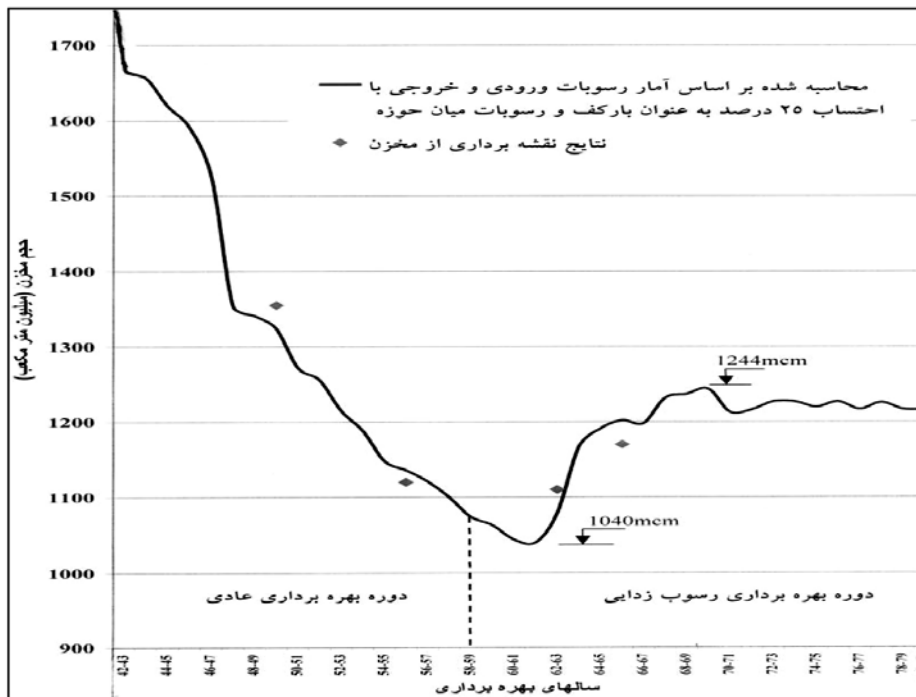
12- Flushing Elevation

6- Annual Input Water Volume

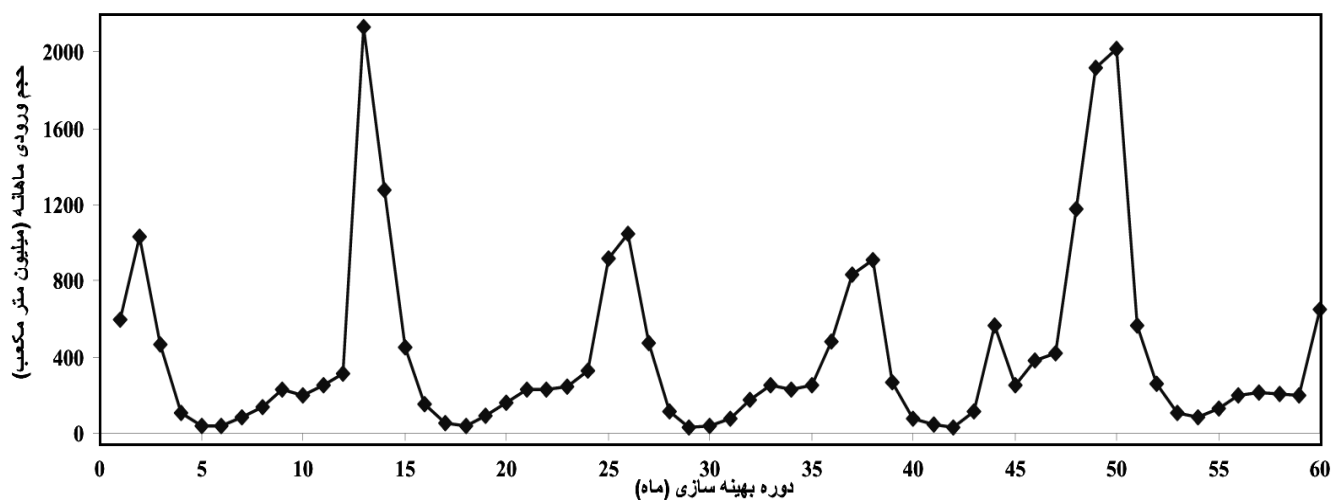
نیاز بخش کشاورزی است، می باشد. همان گونه که انتظار می رود نسبت به سناریوی نخست رسوبات کمتر قابل تخلیه می باشند، اما مشاهده می شود در ۸۴٪ موقع ۱۰۰٪ نیازها تأمین شده اند. در رابطه با سناریوی سوم ( $W_d=0.5$  و  $W_s=0.5$ ) که هر دو هدف تخلیه بیش ترین مقدار رسوبات و تأمین نیاز پایین دست همراه با هم و با ضرایب یکسان در نظر گرفته شده اند، نتایج با دو سناریوی نخست تطابق دارند بدین صورت که در این سناریوی نسبت به سناریوی نخست که هدف اصلی آن خروج رسوبات بود، رسوپ کمتری قابل تخلیه شده در حالی که تأمین نیازها بهتر صورت گرفته است. در اینجا در ۷۲٪ موقع، ۱۰۰٪ نیازها تأمین شده اند.

گرفته اند. مقادیر این معیارها برای ۵ سناریوی در نظر گرفته شده در جدول (۳) ارائه شده است. همچنین در این جدول مقادیر برآورد شده این معیارها بر اساس آمار تاریخی بهره برداری از مخزن ارائه شده که قابل مقایسه با نتایج مدل است.

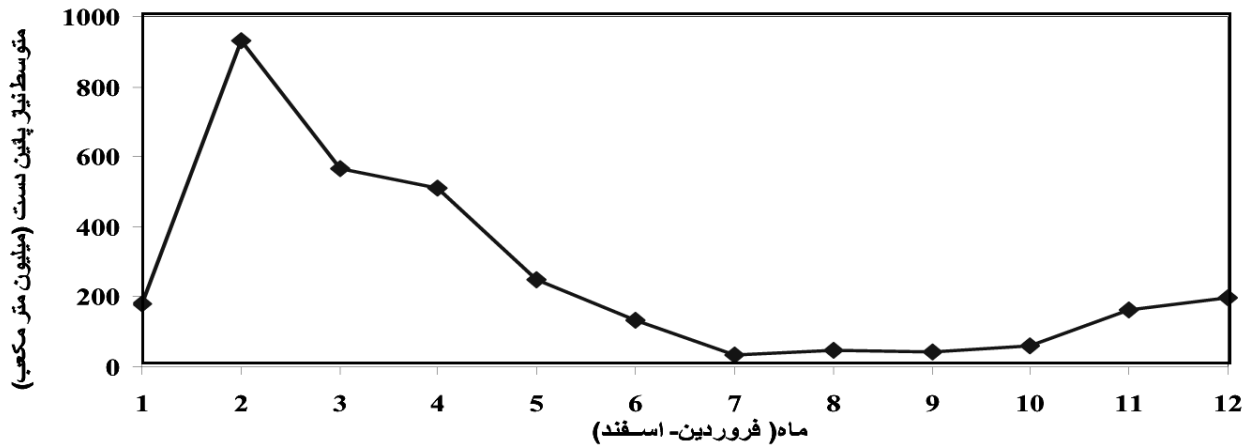
در مورد سناریوی نخست ( $W_d=0.2$  و  $W_s=0.8$ ) که هدف غالب در آن خروج بیش ترین مقدار رسوبات می باشد، نتایج به دست آمده حاکی از آن است که میزان شایان توجهی از رسوبات با خروجی های این سناریو قابل تخلیه هستند. در این سناریو در ۶۹٪ موقع، ۱۰۰٪ نیازها تأمین می شوند. در سناریو دوم ( $W_d=0.8$  و  $W_s=0.2$ )، هدف غالب تأمین نیاز پایین دست که اهم آن آب مورد



شکل ۲- نمودار تغییرات حجم مخزن سفید رود در طول دوره ببرداری [۴]



شکل ۳- سری زمانی دبی ماهانه ورودی به سد سفیدرود در این پژوهش [۵]



شکل ۴- میانگین نیاز پایین دست برای سال های آبی (۸۵-۸۶) و (۸۴-۸۵) [۵]

بیش تر سناریوها بهمود نشان داده است. بهترین سناریوهایی که امکان این مقایسه را فراهم می کند، سناریوهای نخست و سوم هستند. بررسی تابع در جدول (۳) نشان می دهد که درصد تأمین نیاز براساس سه معیار انتخاب شده در سناریوهای نخست و سوم بسیار نزدیک به مقادیر محاسبه شده براساس آمار تاریخی بهره برداری هستند در حالی که میزان رسوبات خروجی در این دو سناریو به ترتیب  $4/4$  و  $2/3$  برابر رسوبات تخلیه شده براساس آمار بهره برداری از سد می باشد.

به طور خلاصه نتایج نشان می دهد با توجه به میزان ورودی سالانه به سد و با در نظر گرفتن سال های خشکسالی و پر آبی، با اتخاذ سناریوی مناسب به عنوان سیاست بهره برداری، می توان توازن مناسبی بین اهداف تأمین نیاز پایین دست و احیاء حجم مخزن سفیدرود ایجاد کرد. در صورتی که تأمین نیازها در حد وضعیت بهره برداری تاریخی از مخزن مدنظر باشد، سناریوی سوم که امکان تخلیه ای حجم شایان توجهی از رسوبات را ضمن بهبود اطمینان پذیری تأمین نیازها در حد محدود فراهم می کند، مناسب ترین گزینه است.

در شکل (۵) مقادیر سری زمانی خروجی واقعی سد در ۵ سال بهینه سازی و نتایج مدل بهینه سازی در سناریوهای گوناگون ارائه شده است. با مقایسه ای نتایج مدل بهینه سازی با بهره برداری واقعی از سد، می توان مشاهده نمود که عملکرد سد سفیدرود در این دوره ای ۵ ساله مانند کل دوران بهره برداری تنها بر اساس تجربه ای دست اندرکاران سد سفیدرود بوده و با مدل بهینه سازی تطبیقی ندارد. در بهره برداری از سد، برای خروج رسوبات از سیلاب های فروردین ماه استفاده نشده است. کمبود آب به وسیله ای خروجی های واقعی در اردیبهشت ماه بیش از کمبود آب به وسیله ای خروجی های سناریوها در این ماه است. روی هم رفته، نتایج به دست آمده از این پژوهش نشانگر کارایی مدل بهینه سازی توسعه داده شده در مدیریت بهره برداری از سد سفیدرود برای ایجاد بالانسی میان اهداف تأمین نیاز و خارج کردن رسوبات از مخزن بوده است.

سناریوی چهارم ( $W_d=0$  و  $W_s=1$ ) وزن تابع خسارت رسوب برابر یک و وزن تابع خسارت نیاز برابر صفر در نظر گرفته شده است. در این سناریو، هیچ گونه خسارتی برای نیاز در نظر گرفته نشده است. این بدان معنا است که نیاز پایین دست در میزان خروجی سد تأثیر گذار نبوده و تنها عامل مهم و تأثیر گذار خروج رسوبات بیشتر از مخزن سد می باشد.

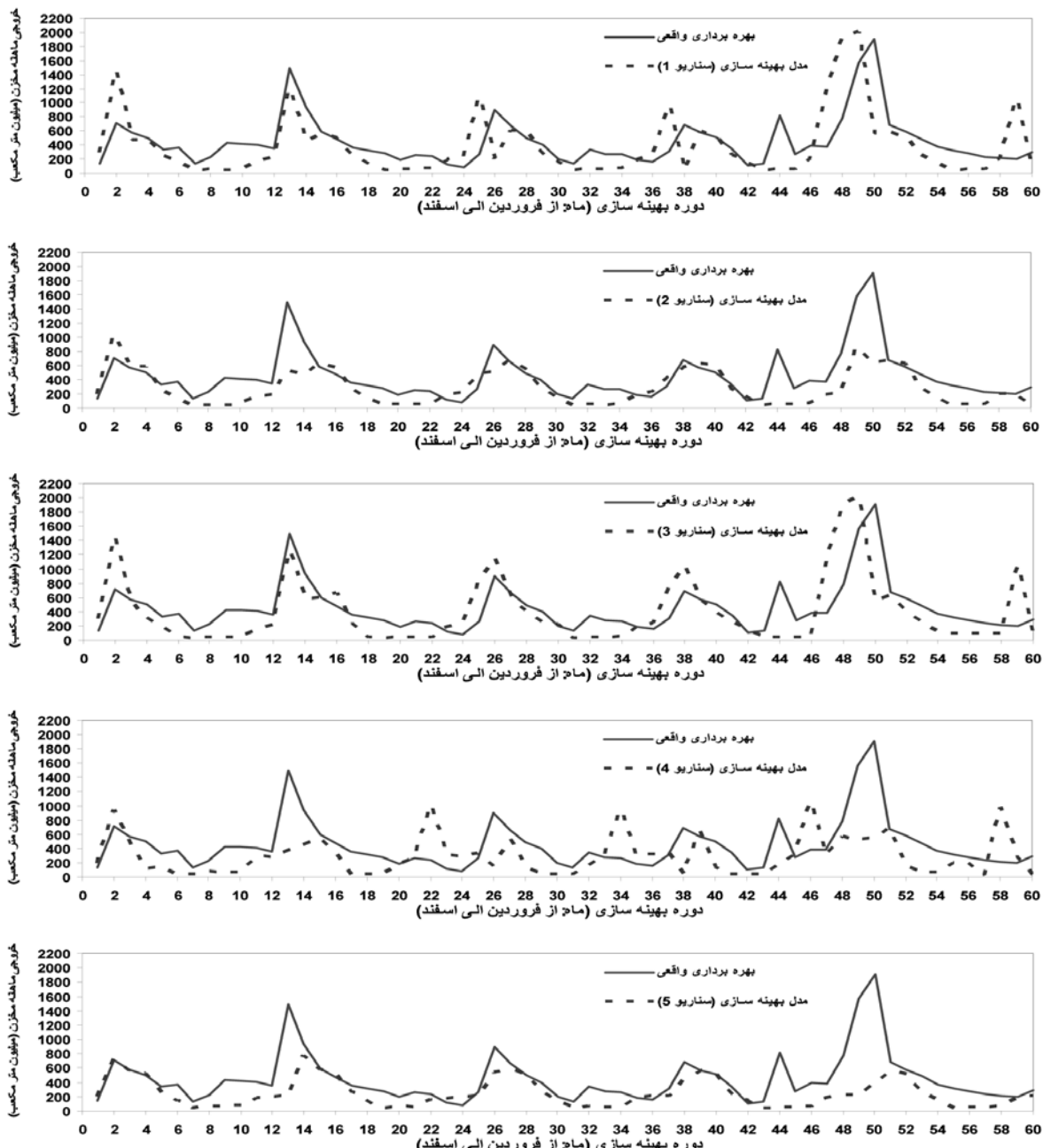
البته، همان گونه که اشاره شد، با توجه به نیاز شدید پایین دست به آبیاری در شش ماه آغازین هر سال، زمان عملیات فلاشینگ در شش ماه دوم سال یعنی از مهرماه تا فروردین ماه سال بعد در نظر گرفته می شود. در این سناریو تنها در  $59\%$  موقعاً  $100\%$  نیازها تأمین می شوند، اما در مقابل میزان بار رسوب خروجی نسبت به بقیه سناریوها افزایش داشته است.

در سناریو پنجم ( $W_d=1$  و  $W_s=0$ ) تنها تأمین نیازها مدنظر بوده است و وزن تابع هدف رسوب صفر در نظر گرفته شده است. در این سناریو خروج رسوبات از مخزن سد عامل تعیین کننده ای برای خروجی مخزن نخواهد بود و مانند قبل تجاوز نکردن از حجم بیشینه مخزن نیز ملاکی برای خروج آب می باشد. در این سناریو،  $90\%$  نیازها در  $100\%$  موقعاً تأمین شده اند که نتیجه ای قابل قبولی برای این سناریو است، اما در مورد میزان رسوب قابل خروج می توان گفت با خروجی های این سناریو تنها رسوبات سالیانه ای ورودی به مخزن قابل تخلیه اند و رسوبات نهشته شده در مخزن تخلیه نمی شوند. به بیان دیگر می توان گفت میزان احیاء حجم مخزن سد بسیار ناچیز است.

رونده تغییرات جدول نشان می دهد، با افزایش وزن تابع خسارت رسوب از درصد موقعاً تأمین نیازها کاسته می شود و در مقابل مقدار رسوب قابل تخلیه به میزان شایان توجهی افزایش می یابد. مقایسه ای نتایج ۵ سناریوی مدل با مقادیر بهره برداری واقعی از مخزن نشان می دهد که به جز در سناریوی پنجم، در سایر سناریوها، میزان رسوبات خروجی بر اساس بهره برداری بهینه بیش تراز بهره برداری واقعی از سد بوده است. همچنین، اطمینان پذیری تأمین نیازها نیز در

جدول ۳- نتایج ۵ سناریوی گوناگون مدل بهینه سازی بهره برداری و داده های بهره برداری واقعی از مخزن سد سفیدرود

بهره برداری واقعی	سناریوی ۵ $W_s=0$ $W_d=1$	سناریوی ۴ $W_s=1$ $W_d=0$	سناریوی ۳ $W_s=0.5$ $W_d=0.5$	سناریوی ۲ $W_s=0.2$ $W_d=0.8$	سناریوی ۱ $W_s=0.8$ $W_d=0.2$	شاخص های بررسی عملکرد سناریوهای در تامین نیازهای آبی و تخلیه رسوبات
۶/۱۱۰	۵/۳۱۱	۴۰/۱۱۲	۲۰/۰۱۹	۹/۳۰۶	۲۷/۰۲۸	میزان رسوبر خروجی در واحد زمان(ton/sec)
۷۰	۹۰/۰	۵۹/۲	۷۲	۸۴/۴	۶۹/۲	درصد موقع برآورده شدن ۱۰۰٪ نیازها
۸۳/۲	۹۳/۷	۷۰/۱	۸۵/۲	۹۲/۲	۷۹/۶	درصد موقع برآورده شدن ۷۰٪ نیازها
۸۵/۳	۹۵/۱	۷۰/۴	۸۹/۵	۹۳/۹	۸۳/۶	درصد موقع برآورده شدن ۵۰٪ نیازها



شکل ۵- مقایسه نتایج مدل بهینه سازی در سناریوهای گوناگون با مقادیر بهره برداری واقعی از مخزن سد سفیدرود

## خلاصه و نتیجه‌گیری

در این پژوهش با استفاده از مدل بهینه سازی الگوریتم ژنتیک با طول کروموزوم متغیر که سرعت همگرایی آن در رسیدن به پاسخ بهینه از الگوریتم ژنتیک معمولی بیشتر است، خروجی‌های سد سفیدرود برای یک دوره‌ی پنج ساله با تأکید بر فلاشینگ مخزن بهینه شدند و نتایج به دست آمده با نیاز پایین دست و خروجی‌های واقعی سد مقایسه شدند. مقایسه‌ی نتایج به دست آمده از مدل بهینه سازی و بهره‌برداری واقعی سد نشان دهنده‌ی اختلاف زیاد این دو می‌باشد. این مطلب بیانگر آن است که عملکرد سد سفیدرود از ابتدا تاکنون بیشتر بر اساس تجربیات مسئولان سد بوده است و کمتر سعی در استفاده از روش‌های نوین صورت گرفته است.

بررسی‌های انجام شده نشان دهنده‌ی عدم استفاده‌ی مفید از سیلاب‌های فروردین ماه برای خروج رسوبات بوده است. نتایج مدل بهینه سازی نشان می‌دهد که امکان افزایش راندمان عملیات فلاشینگ و تأمین نیازهای آبی پایین دست سد سفیدرود وجود دارد. مقایسه‌ی نتایج سناریوهای گوناگون در این پژوهش نشان می‌دهد که از آنجا که بحث خروج رسوبات ورودی به مخزن سد سفیدرود قابل چشم‌پوشی نمی‌باشد، سناریوهای دوم و سوم که ضریب تابع هدف رسوب در آنها به ترتیب ۰/۲ و ۰/۵ بوده است می‌توانند در تدوین سیاست‌های بهره‌برداری از این سد مورد استفاده قرار گیرند. هرچند که در شرایط ویژه، هر کدام از پنج سناریوی پیشنهادی قابل بهره‌برداری هستند.

## منابع

- Flushing Sediment from Reservoir. TDR Project R5839, Wallingford Ltd.
9. Baltar, M. and Fontane, G. 2006. A Multiobjective Particle Swarm Optimization Model for Reservoir Operation and Planning. International Conference on Computing and Decision Making in Civil and Building Engineering, Montreal, Canada.
10. Chang, F.J., Chen, L. and Chang, L.C. 2004. Optimization the Reservoir Operating Rule Curves by Genetic Algorithm. *Hydrological Processes*, Vol. 19, PP. 2277-2289.
11. Chen, L., McPhee, J., Yeh, W. and Hon, M. 2006. A Diversified Multiobjective GA for Optimizing Reservoir Rule Curves." *Advances in Water Resources*, Vol. 30, No. 5, PP. 1082-1093.
12. Holland, J.H. 1975. *Adaptation in natural and artificial systems*" University of Michigan Press, Ann Arbor, Mich.
13. Karamouz, M. and Vasiliadis, H. 1992. A Bayesian Stochastic Optimization of Reservoir Operation Using Uncertain Forecast. *Water Resources Research*, Vol. 28, No. 5, PP. 1221-1232.
14. Kawashima, S., Butler, T.J., Annandale, G.W. and Shah, F. 2003. *Reservoir Conservation: RESCON Model and User Manual". USA, 2003.*
15. Kerachian, R. and Karamouz, M. 2006. Optimal Reservoir Operation considering the Water Quality Issues: A Stochastic Conflict Resolution Approach." *Water Resources Research*, W 12401, Vol. 42, doi: 10.1029/2005WR004575, 1-17.
16. Mahmood, K. 1987. Reservoir sedimentation: impact, extent and mitigation, Technical paper No. 71, World Bank, Washington DC.
17. Mohan, S. and Raipure, M. 1992. Multi-objective Analysis of Multi-reservoir System, *Journal of Water Resources Planning and Management*, Vol. 118, No. 4, PP. 356-370.
18. Pitt, J. D. and Thompson, G. 1984. The impact of sediment on reservoir life", Proc. Conf. on challenges in African Hydrology and Water
1. شرکت سهامی آب منطقه‌ای گیلان. ۱۳۶۷. گزارش عملیات رسوب‌زدایی سد سفیدرود، امور سدها.
2. شرکت سهامی آب منطقه‌ای گیلان. ۱۳۸۵. گزارش عملیات رسوب‌زدایی سد سفیدرود، امور سدها.
3. شرکت آب منطقه‌ای گیلان، "گزارشات کمیته رسوب سد سفیدرود"، ایران، ۱۳۵۹-۱۳۸۶.
4. موسسه تحقیقات آب، "رسوب‌زدایی مخزن سد سفیدرود" ۱۳۵۹، ۱۳۶۰، ۱۳۶۷، ۱۳۶۰. بررسی ۱۳۸۳.
5. وزارت نیرو کمیته ملی سدهای بزرگ ایران. ۱۳۸۳. بررسی فنی عملیات شناس در سفیدرود.
6. اسماعیلی، ک. شفاعی بجستان، م. و کاشفی پور. ۱۳۸۳. بررسی آزمایشگاهی عوامل موثر بر انتقال رسوب در شرایط سیلاب طغیانی، مجله علوم و مهندسی آبخیزداری، سال اول، شماره ۲، ۳-۱۰.
7. Annandale, G.W. 1987. Reservoir sedimentation. *Developments in Water Science*, Title 29. Elsevier Science Publishers, Amsterdam, The Netherlands.
8. Atkinson, E. 1996. The Feasibility of

- Models for Reservoir Operation Optimization. Water Resources Research, Vol. 20, No. 11, PP. 1499-1505.
22. Wardlaw, R. and Sharif, M. 1999. Evaluation of Genetic Algorithms for Optimal Reservoir System Operation, Journal of Water Resources Planning and Management, Vol. 125, No. 1, PP. 25-33.
23. Zahraie, B., Kerachian, R. and Malekmohammadi, B. 2008. Reservoir Operation Optimization Using Adaptive Varying Chromosome Length Genetic Algorithm. Water International, IWRA, Vol. 33, No. 3, PP. 380-391.
- Resources. Int. Association of Hydrology Scs. Publication No. 144.
19. Shi-Yui, L., Al-Fayyaz, T. and Kim Sai, L. 2004. Application of Evolutionary Algorithm in Reservoir Operation. Journal of the Institution of Engineers, Singapore, Vol. 44, No. 1, PP. 39-54.
20. Sloff, C.J. 1991. Reservoir sedimentation: a literature survey. Communications on Hydraulic and Geotechnical Engineering, Report No. 91-2. Faculty of Civil Engineering, Delft University of Technology, The Netherlands.
21. Stedinger, J.R., Sule, B.F. and Loucks, D.P. 1984. Stochastic Dynamic Programming